

دراسة خاصة المقاومة الإنضغاطية للطابوق الترابي المضغوط المنتج من منطقة

ليان جنوب شرق كركوك / العراق

درياه عبد الصمد أمين¹، أوميد أحمد محمد²

^{1, 2} قسم الجيولوجيا التطبيقية، كلية العلوم، جامعة كركوك، كركوك، العراق.

¹ahmetkhaleel90@yahoo.com, ²dr_aomed@yahoo.com

الملخص

درست خاصية المقاومة الانضغاطية للطابوق الترابي المضغوط المنتج من منطقة ليان الواقعة جنوب شرق كركوك من خلال تهيئة نماذج من الطابوق بأبعاد $cm^3 (2.2*6.3*8.8)$ اعتماداً على المواصفات (ASR, ASR 671:1996). تم إجراء فحص المقاومة الانضغاطية غير المحصورة لنماذج الطابوق بعد فترات تجفيف متباينة (28,14,7) يوم و تحت ظروف المختبرية فتراوحت معدل القيم الانضغاطية ما بين (22.8-43.8 MPa) وهذه النتائج حسب المواصفات الهندسية مقارنة لقيم المقاومة الانضغاطية غير المحصورة للبلوك الكونكريتي وتعتبر نتائج جيدة بالمقارنة مع قيم المقاومة الانضغاطية للطابوق المنتج بالحرق.

الكلمات الدالة: الطابوق الترابي المضغوط، الفحوصات الهندسية، المواصفات العالمية.

DOI: <http://doi.org/10.32894/kujss.2019.14.2.12>

Study of the Compressive Strength Characteristic for Compressed Earth Blocks Produced from Laylan Area South Eastern Kirkuk/ Iraq

Daryah A. Ameen¹, Aomed A. Mohmmmed²

^{1,2}Department of Applied Geology, Collage of Science, Kirkuk University, Kirkuk, Iraq.

¹ahmetkhaleel90@yahoo.com, ²dr_aomed@yahoo.com

Abstract

Compressive strength characteristic was studied for compressed earth block produced from Laylan area south eastern Kirkuk through the compressed earth blocks samples were prepared with dimensions (8.8*6.3*2.2) cm³ based on the international Standards (ASR 671:1996, ASR 674:1996), the unconfined compressive strength the blocks models was examined after different period curing (7,14,28) under laboratory condition ranging in value between (30.1-42.6 MPa) these results are according to engineering specifications is an approach to the un-confined compressive strength values of the concrete blocks and these result are considered good in comparison to the un-confined compressive strength values of the fired bricks.

Keywords: compressed earth blocks, engineering tests, international specification.

DOI: <http://doi.org/10.32894/kujss.2019.14.2.12>

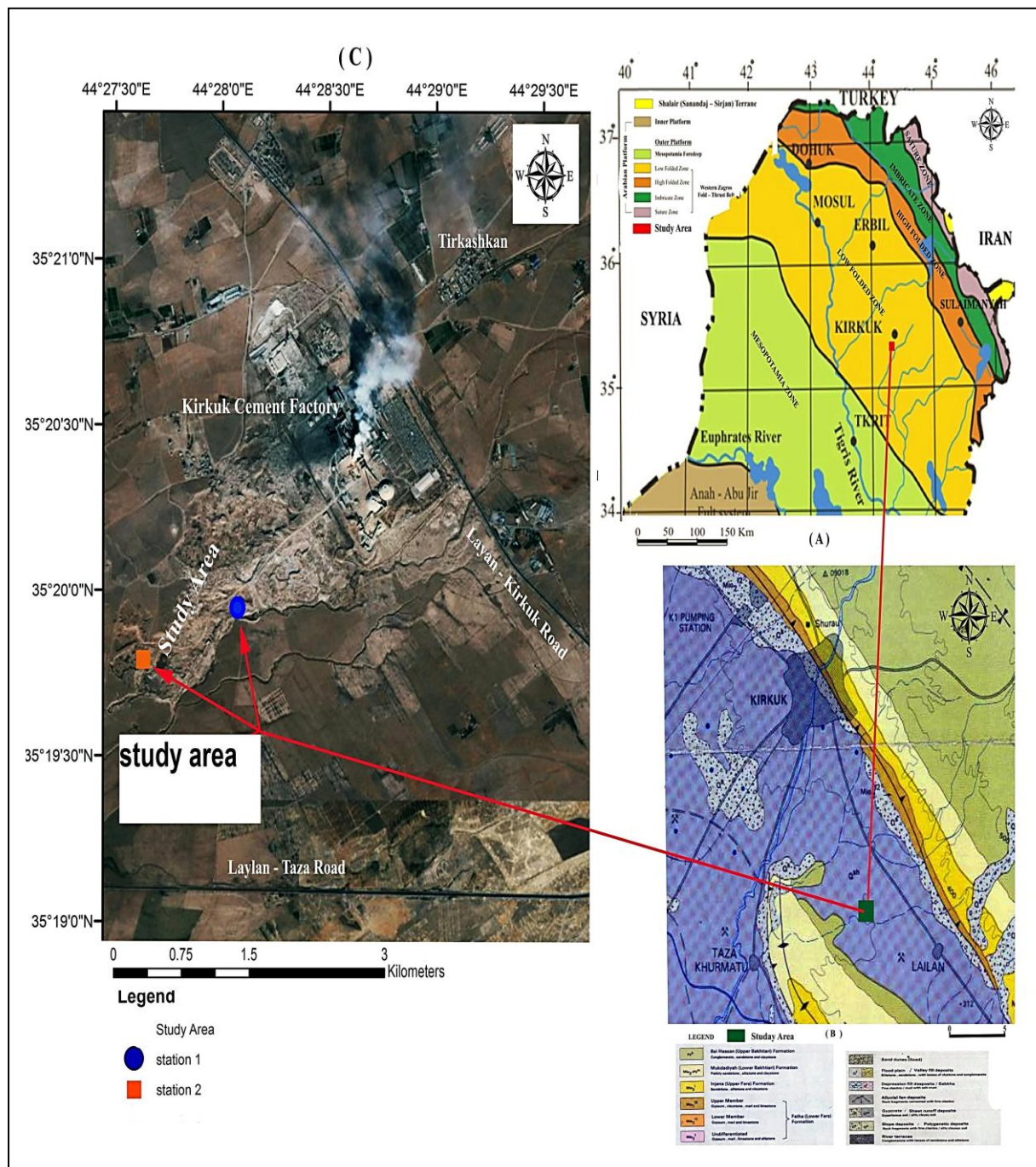
1. المقدمة:

قام الإنسان ببناء أول المساكن التي كانت من التراب وبلا شك هي واحدة من مواد البناء الأكثر استخداماً على نطاق واسع من العالم، وحالياً أكثر من 50% من سكان البلدان النامية بما في ذلك أغلبية سكان الريف يعيشون في المباني الترابية، نظراً لتمييزها بالصفات الإيجابية مثل التكلفة المنخفضة، العزل الحراري العالي، وتوفر موادها الأولية وبكميات كبيرة، بالرغم من أن التربة هي أقدم مواد البناء المعروفة ومع ذلك فقد وضعت في غير محلها عند اكتشاف مواد البناء الحديثة مثل (البلوك الكونكريتي والطابوق الاعتيادي الناتج بواسطة الحرق) وتعد مواد البناء هذه ملوثة للبيئة. ونظراً لزيادة الاهتمام بتقنية المنشأة الترابية (Soil construction) مع تقدم الأيام في البلدان المتقدمة ومنها تقنيات الإنتاج والبناء الداخلة للصناعة [1] ومن المتوقع أن تكون تقنية الطابوق الترابي المضغوط (CEB) أكثر قبولاً في المجتمع من تقنيات المنشأة الترابية والتي تعرف بأنها الجيل الجديد من الطابوق الترابي المقولبة والمعروفة باسم الطابوق الطيني (adobe brick)، وذلك بسبب سهولة إنتاج الطابوق الترابي المضغوط وقلّة تكلفته لتوفر مواد الأولية المكونة من التربة ولامتلاكه خواص هندسية جيدة، زيادة على ذلك الخواص البيئية التي تمتاز بها المباني المنشأة من الطابوق الترابي المضغوط والتي اعتبرت منتجات صديقة للبيئة [2]، لأنها تتطلب حوالي (1%) فقط من الطاقة عند صنع الطابوق الترابي المضغوط وأيضاً تتطلب معدات ومكائن أقل تخصصاً مقارنة مع التقنيات الأخرى ومن أهمها المكابس (CINVA-RAM) [1].

2. جيولوجية منطقة الدراسة:

تقع منطقة الدراسة في الجزء الشمالي الشرقي من العراق، تبعد حوالي (26km) جنوب شرق مدينة كركوك، وتقدر مساحة منطقة الدراسة حوالي (405 km²)، وتتحصّر بين خطي طول (30° 27' 44")، (00° 28' 44") شرقاً، ودائرتي عرض (45° 19' 35")، (00° 20' 35") شمالاً، كما مبين في شكل 1. من الناحية التركيبية تمتاز بوجود طيات قليلة الميل (gently inclined fold) على طول محور شمال-غرب الى جنوب-شرق موازية لاتجاه سلسلة جبال زاكروس، ومغطاة بترسبات بعمر (Miocen-pliocene)، على طول الجزء الشمالي شرقي منطقة ليلان حيث يظهر تركيب كركوك (Kirkuk structure) ومن الجنوب الغربي للمنطقة يظهر تركيب جمبور (Jambur structure) [3]. أما من الناحية الطباقية تغطي منطقة ليلان ترسبات العصر الرباعي بينما تغطي أطراف المنطقة ترسبات الصخور الرسوبية بعمر (Miocen-Pliocene)، حيث تغطي الترسبات العصر الرباعي أكثر من الثلث من مساحة سطح العراق ومعظم هذه الترسبات تظهر في سهل ما بين

النهرين (Mesopotamian plain)، يغطي هذا النوع من الترسبات المناطق المسطحة و تتكون من ترسبات الرمل أو الرمال الطينية الغريانية، و يتراوح سمكها ما بين (2- 3 m) او اكثر، [4].



شكل 1: الخارطة الموقعية والجيولوجية لمنطقة الدراسة.

3. المواد وطرائق العمل:

3.1 التربة:

هي المادة الرئيسية التي تدخل في إنتاج الطابوق الترابي المضغوط وهي مادة غير متجانسة تتكون بنسب متفاوتة من الحصى (gravel)، الرمل (sand)، الغرين (silt) والطين (clay)، تتأثر سلوكها الهندسية بالتغيرات في محتوى الرطوبة والكثافة، قبل إنتاج الطابوق الترابي المضغوط يجب اختبار التربة لمعرفة مدى ملائمتها لإنتاج الطابوق [5] تم إزالة سطح التربة بعمق (15 cm) من أجل تفادي استخدام التربة التي تحتوي على المواد العضوية والنباتات لأنها تعد من المواد غير المرغوب في الإنتاج الطابوق، ان نوعية تربة موقعي منطقة الدراسة هي الرمل الطيني (Clayey Sand).

3.2 المحتوى المائي:

اما المحتوى المائي هو من المواد المهمة في عملية إنتاج الطابوق الترابي المضغوط يتم إضافتها الى التربة حتى وصولها الى الحالة اللدنة ضمن نطاق معامل اللدونة مما يجعلها سهلة لعمليات القولبة. ان نوعية الماء تلعب دوراً مهماً عند إنتاج الطابوق الترابي المضغوط لان قد تتدخل الشوائب الموجودة في الماء المضاف الى خبطة الطابوق وتؤثر على قواما أو قد تسبب تشقق سطح الطابوق أثناء تجفيف وبالتالي تؤثر سلبياً على المقاومة الانضغاطية الطابوق ولهذا يجب الاخذ بنظر الاعتبار مدى ملائمة الماء المستخدم لأغراض إنتاج الطابوق الترابي المضغوط. بدأت مراحل إنتاج الطابوق الترابي المضغوط بمرحلة عملية سحق التربة هذه العملية مهمة في إنتاج الطابوق الترابي المضغوط للحصول على خليط من التربة المتجانسة وعادة يتم تقنيت الكتل أو القطع الكبيرة الموجودة في التربة. هناك انواع مختلفة من المعدات المستخدمة لهذا الغرض ولكن من السهل سحق التربة بواسطة اليد دون استخدام المعدات مكلفة [5]،

3.3 مرحلة عملية الكبس:

تتم هذه العملية باستخدام المعدات المستخدمة لأغراض إنتاج الطابوق الترابي المضغوط، سابقا كانت تستخدم ما يسمى بالعصا الخشبية للضغط على التربة في داخل القوالب المخصصة لهذا الغرض، حالياً توجد أنواع مختلفة من المكابس تستخدم لعملية كبس وصنع الطابوق الترابي المضغوط سواء كانت المكابس ميكانيكية أو يدوية و المتاحة في الاسواق منها (RAM CINVA, (BREPAK) [6] هذه المعدات غير مكلفة لا تتطلب طاقة عالية في تشغيلها [7] وان المكابس (-CINVA RAM) هي المكابس الأكثر شهرة في جميع انحاء العالم ولذلك بسبب انخفاض تكلفتها، خفيفة الوزن، تعمل يدوياً وسهولة

تجهيزها ولكن من مساوئها أن لها قالب واحد، لها قوة كبس منخفض ومعدل إنتاجها أقل مقارنة مع المكابس أخرى. تم في هذا البحث تثبيت قوة كبس، وتم إنتاج (24) نموذج من الطابوق الترابي المضغوط لكلا الموقعين من منطقة الدراسة) باستخدام جهاز تصنيع وفحص الطابوق الترابي المضغوط (وهو جهاز مصمم لإنتاج الطابوق الترابي المضغوط والمصغر بنسبة 1/4 مقارنة بالحجم الأصلي الشائع لإنتاج الطابوق الترابي المضغوط) كما مبين في شكل a2، ويقوة كبس حوالي (17.2 Mpa) حسب المواصفة العالمية (ASR 674,1996)،

3.4 مرحلة عملية التجفيف:

تعد هذه العملية مهمة في إنتاج الطابوق الترابي المضغوط، لان لها تأثير على الخواص الجيوتكنيكية والهندسية للطابوق، لذا يجب المحافظة على الطابوق المنتج من العوامل الجوية و تجفيفها في أماكن مظلمة لمدة اربعة أسابيع على الاقل وتغطية النماذج نظرا" لتصنيعها في موسم الصيف لتفادي التجفيف السريع لأن هناك احتمال حدوث تشققات على سطح.

ان فترة التجفيف تتناسب تناسبا طرديا مع مقاومة الانضغاطية الطابوق فكلما كانت فترة التجفيف أطول كلما كانت المقاومة الانضغاطية أعلى وذلك بسبب هناك الوقت الكافي لتبخر كمية اكبر من المحتوى المائي للطابوق لذلك فأن هذه العملية ضرورية لتحسين المقاومة الانضغاطية للطابوق لذا ينبغي أدائها بعناية وتم تجفيف الطابوق تحت درجة الحرارة المختبر (اي من نوع التجفيف الطبيعي) كما مبين في شكل b2 وعلى ثلاث فترات زمنية (7-14-28) يوما ثم مرحلة عملية الفحص.

حيث تم في هذا البحث احتساب المقاومة الانضغاطية للطابوق الترابي المضغوط المصنع في المختبر بعد (7 ايام، 14

يوم و 28 يوم) من التجفيف باستخدام جهاز فحص وتصنيع الطابوق الترابي المضغوط كما مبين في شكل a2



شكل 2: عملية كبس الطابوق في جهاز تصنيع وفحص الطابوق الترابي المضغوط (a): نماذج من الطابوق الترابي المضغوط المنتج أثناء عملية تجفيف (b).



شكل 3: فحص المقاومة الانضغاطية للطابوق بواسطة جهاز تصنيع وفحص الطابوق الترابي المضغوط.

4. النتائج والمناقشة:

4.1 التحليل المنخلي:

هي طريقة تقوم بهز عينة التربة و امرارها من مجموعة من المناخل ذات فتحات اكير حجما بقطر (75mm) في منخل (NO. # 3 in) في أعلى الهزاز وتصغر الفتحات تدريجيا كما مبين في الجدولان 2، 3 بقطر (0.075mm) في منخل

(NO. #200) في الاسفل وتنتهي بالبان [8]، بعد إجراء اختبار التحليل المنخلي للتربة المنطقة الدراسة وحسب المواصفة الأمريكية (2004) ASTM,D-422-63 [9] تبين أن نسبة الحصى يتراوح ما بين (0.08-0.04%)، الرمل (53.5- 64.4%) والمواد الناعمة (الغرين، الطين) (35.6_46.4%) للتربة موقع الأول. أما بالنسبة الموقع الثاني فتتكون الحصى (0.08-0.03%)، الرمل (59.4-68.5%)، المواد الناعمة (silt ,clay) (32.3-40.7%). ويمكن قول ان نوعية تربة موقعي منطقة الدراسة هي الرمل الطيني (Clayey Sand). والشكلان 4، 5 يبينان التحليلي الحجمي الحبيبي لتربة موقعي منطقة الدراسة.

جدول 1: يبين نسب مواد التربة في موقعي منطقة الدراسة.

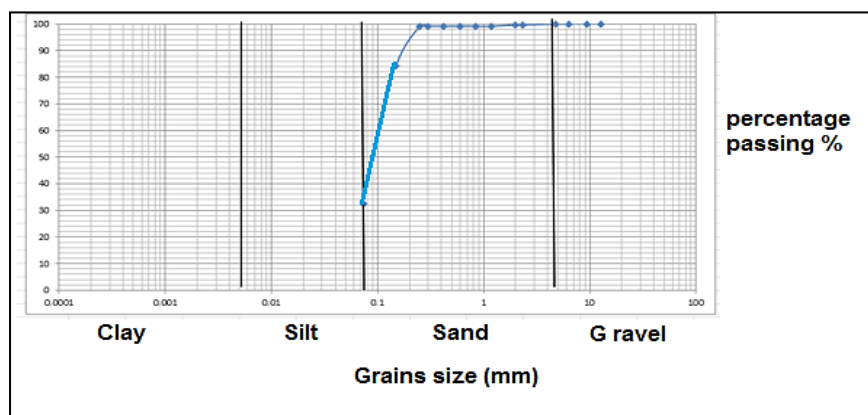
مواقع	مواد التربة		
	الحصى Gravel%	الرمل Sand%	غرين، طين (clay% ,silt)
موقع اول	0.06	58.9	41.01
موقع ثاني	0.05	63.9	36.05

جدول 2: نتائج التحليل الحجمي الحبيبي لتربة الموقع الأول من منطقة الدراسة.

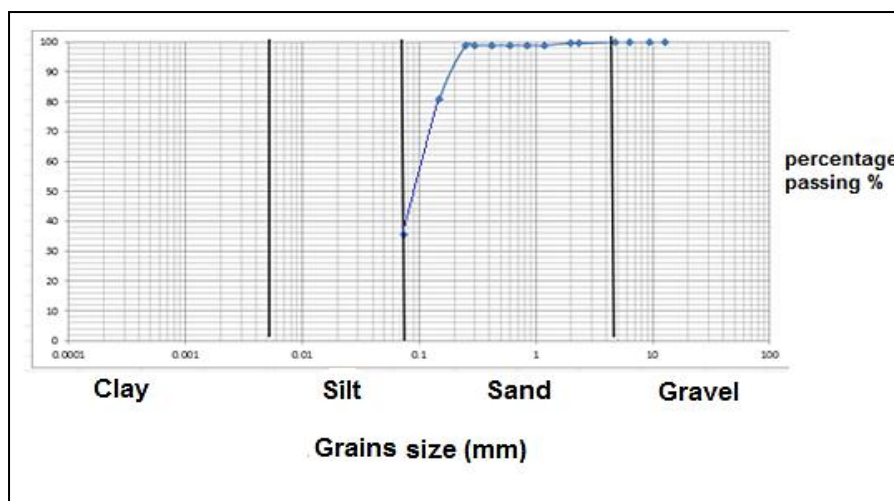
نسبة المئوية المارة %	نسبة المئوية التراكمية %	نسبة المئوية لتربة المتبقية %	وزن التربة المتبقية على كل منخل (gm)	وزن المنخل (gm)	حجم المنجل (mm)	رقم المنخل
100	0	0	0	427.37	9.5	3/8
99.96	0.04	0.04	0.23	394.68	4.75	4
99.52	0.48	0.44	2.2	342.68	2.36	8
98.92	1.08	0.60	3.01	327.97	1.18	16
81.01	18.99	17.91	89.57	261.01	0.150	100
35.58	64.42	45.43	227.18	247.94	0.075	200
0.06	99.94	35.52	177.62	270.68		Pan

جدول 3: نتائج التحليل الحجمي الحبيبي لتربة الموقع الثاني من منطقة الدراسة

نسبة المئوية المارة %	نسبة المئوية التراكمية %	نسبة المئوية تربة المتبقية %	وزن التربة المتبقية على كل منخل (gm)	وزن المنخل (gm)	حجم المنجل (mm)	رقم المنخل
100	0	0	0	427.37	9.5	3/8
99.97	0.02	0.02	0.13	394.68	4.75	4
99.62	0.38	0.36	1.8	342.68	2.36	8
99.25	0.75	0.75	3.76	327.97	1.18	16
77.78	22.22	21.09	105.44	261.01	0.150	100
35.14	64.86	42.64	213.08	247.94	0.075	200
0.04	99.96	35.01	175.51	270.68		Pan



شكل 4: يبين التحليل الحجمي الحبيبي لتربة الموقع الأول من منطقة الدراسة.



شكل 5: يبين التحليل الحجمي الحبيبي لتربة الموقع الثاني من منطقة الدراسة.

4.2 التحاليل الكيميائية للأكاسيد الرئيسية والمفقودات بالحرق:

تم إجراء التحليل الكيميائي للتربة لمنطقة الدراسة باستخدام (جهاز تشتت الطاقة المستقطبة XRF) في مركز بحوث علوم الأرض التطبيقية / جامعة أنقرة / تركيا كما مبين في جدولين 4, 5 لمعرفة محتواها من أكاسيد العناصر الرئيسية للتربة موقعي منطقة الدراسة.

جدول 4: يبين تراكيز العناصر الرئيسية ونسبة فقدان الوزن بالحرق (L.I.O.) لنماذج المدروسة للموقع الأول من تربة منطقة الدراسة.

Element	Na2O	MgO	Al2O3	SiO2	SO3	K2O	CaO	Fe2O3	LOI	Total
S1	0.82	3.45	9.72	41.02	0.05	1.02	20.28	3.61	19.17	99.14
S2	1.22	3.70	9.89	40.11	0.08	1.24	19.20	3.66	20.14	99.24
S3	0.91	3.60	9.90	40.00	0.05	1.90	20.04	3.11	19.23	98.74
S4	1.22	3.55	9.90	39.92	0.05	1.50	20.92	3.25	19.01	99.32
S5	0.08	4.67	8.94	39.53	0.20	1.48	19.28	4.85	20.38	99.41

جدول 5: يبين تراكيز العناصر الرئيسية ونسبة فقدان الوزن بالحرق (L.I.O.) لنماذج المدروسة للموقع الثاني من تربة منطقة الدراسة.

Element	Na2O	MgO	Al2O3	SiO2	SO3	k2O	CaO	Fe2O3	LOI	Total
T1	1.34	4.10	10.01	39.08	0.22	1.06	21.23	3.42	19.04	99.50
T2	1.05	4.21	9.46	39.18	0.28	1.21	20.23	3.72	19.50	98.84
T3	1.14	4.21	10.15	39.15	0.06	1.28	18.78	4.80	19.30	98.87
T4	0.92	3.81	9.78	38.60	0.07	1.33	20.76	3.32	20.70	99.29
T5	0.87	3.96	9.66	39.35	0.06	1.35	19.01	4.55	20.32	99.13

جميع نماذج تربة منطقة الدراسة تحتوي على نسبة عالية من العناصر (SiO₂,CaO) مقارنة بالعناصر AL₂O₃ (MgO,Fe₂O₃, K₂O,Na₂O and SO₃)، تتواجد سليكا بنسبة عالية في المعادن الطينية حيث يدخل في التركيب البلوي للمعادن الطينية وتقوم بأملاء الفراغات ما بين الحبيبات الطين وهذا يزيد من المقاومة وبالتالي يزداد مقاومة الطابوق و يزداد ديمومته، اما اوكسيد الكالسيوم يتواجد اوكسيد الكالسيوم اما الشكل معدن الكالسايت ضمن الصخور الطينية او يتواجد بشكل القطع الصخرية لكاربونات الكالسيوم [10].

4.3 المقاومة الانضغاطية غير المحصورة:

تعرف بأنها كمية الضغط الذي يمكن أن يقاوم الثقل دون إنهيار على وحدة مساحة السطحية المسلط اثناء الانتاج، ويعبر عنها بوحدة (Mpa). تعتمد المقاومة الانضغاطية على نوعية التربة المستخدمة عند الانتاج [13]. العلاقة بين المقاومة الانضغاطية وفترة التجفيف تم احتساب المقاومة الانضغاطية للطابوق بعد عدة فترات من تجفيف كما مبين **جدول 6** بعد 7 أيام من التجفيف الطبيعي (تحت ظروف مختبرية) فكانت المقاومة الانضغاطية للطابوق (22.06Mpa – 37.39)، (بعد 14 يوما) المقاومة الانضغاطية تراوحت ما بين (31.02- 40.67)، بعد (28 يوما) (42.05Mpa - 42.2) بالنسبة للطابوق المنتج من التربة الموقع الأول كما مبين في **شكل 6 a**، أما بالنسبة للطابوق المنتج من التربة الموقع الثاني كما مبين في **شكل 6 b**، بعد (7 أيام من تجفيف) تراوحت قيمة مقاومة الانضغاطية (23.4Mpa-31.7)، بعد (14 يوما) تراوحت قيمته (34.4Mpa-45.5)، بعد (28 يوما) تراوحت قيمة المقاومة الانضغاطية (39.9-44.1 Mpa)، نلاحظ أن العلاقة بين المقاومة الانضغاطية وفترة التجفيف هي علاقة طردية، حيث تزداد المقاومة الانضغاطية للطابوق كلما زادت فترة تجفيف الطابوق لأن مع زيادة فترة التجفيف يكون هناك فقدان أكثر للمحتوى المائي للطابوق وبالتالي نحصل على مقاومة الانضغاطية أعلى وعند مقارنة القيم المقاومة الانضغاطية غير المحصورة للطابوق الترابي المضغوط مع القيم المقاومة الانضغاطية غير المحصورة للبلوك المصنوع من الكونكريت (10Mpa-40) ومع المقاومة الانضغاطية غير المحصورة للطابوق المنتج بواسطة الحرق (5-15 Mpa) وهي مقارنة لقيم المقاومة الانضغاطية غير المحصورة للبلوك المصنوع من الكونكريت وممتازة بالمقارنة مع قيم المقاومة الانضغاطية غير المحصورة للطابوق المنتج بواسطة الحرق.

جدول 6: يبين نتائج فحص المقاومة الانضغاطية للطابوق المنتج من مواد الارضية لموقعي منطقة الدراسة بعد فترات.

الموقع الثاني			الموقع الاول			الايام
المعدل	المقاومة الانضغاطية Mpa	النماذج	المعدل	المقاومة الانضغاطية Mpa	النماذج	
29.3	37.92	1	30.9	37.92	1	7ايام
	24.13	2		33.09	2	
	23.44	3		29.64	3	
	31.71	4		22.06	4	
40.2	40.67	5	35.9	36.56	5	14يوم
	34.47	6		39.98	6	
				35.16	7	
				34.63	8	
	45.50	7		34.47	9	
				31.02	10	
				33.78	11	
40.67	12					
43.1	44.18	8	42.1	42.05 42.1 42.2	13	28يوم
	41.36	9				
	42.05	10				
	39.98	11				

4.4 محتوى الرطوبة:

يعبر عنه بنسبة مئوية لوزن النموذج الرطب الى وزن النموذج المجفف ويرمز له %WC

ويعبر عنه بالمعادلة:

$$WC\% = Ww/Ws * 100 \quad (1)$$

ويتم حساب Ww من المعادلة الآتية:

$$Ww = wn - ws \quad (2)$$

Wc: المحتوى الرطوبي للنموذج.

Ws: وزن الصلبة للنموذج.

Ww: وزن الماء في النموذج.

Wn: وزن النموذج.

تم في هذه البحث احتساب محتوى الرطوبة الطابوق الترابي المضغوط حسب المواصفة الأمريكية (ASTM D2216-80) (2004) [12]، العلاقة بين المقاومة الانضغاطية ومحتوى رطوبة الطابوق بعد إجراء فحص المقاومة الانضغاطية للطابوق المنتج بواسطة جهاز تصنيع و فحص الطابوق الترابي المضغوط تبين أن قيمة المقاومة الانضغاطية تتراوح (22.1 Mpa- 42.1)، بينما محتوى الرطوبة التي تم حسابها من خلال المعادلة $(WC\% = m1 - m2 / m2 - mc)$ تراوحت قيمتها (3.3%- 9.9) للموقع الأول كما مبين في شكل 7 a، أما بالنسبة للطابوق المنتج من تربة الموقع الثاني كما مبين في شكل 7 b، حيث تراوحت قيمة المقاومة الانضغاطية (23.4- 45.5 Mpa)، بينما محتوى الرطوبة تراوحت (3.1- 9.8)، حيث نلاحظ العلاقة بينهما هي العلاقة عكسية مع نقصان محتوى الرطوبة تزداد المقاومة الانضغاطية للطابوق، لأن الماء يقلل من قوة التماسك ما بين حبيبات التربة وهذا يؤثر على المقاومة الطابوق.

اما العلاقة بين محتوى الرطوبة وفترة تجفيف الطابوق: تراوحت قيمة محتوى الرطوبة (بعد 7 ايام) من التجفيف (-9.9- 6.4%)، بعد (14 يوما) تراوحت (4.6%-6.7%)، بعد 28 يوما" تراوحت (3.1%- 4.1) بالنسبة للطابوق المنتج من التربة الموقع الأول كما مبين في شكل 8 a. أما بالنسبة للطابوق المنتج من تربة الموقع الثاني كما مبين في شكل 8 b، بعد (7 ايام) من التجفيف تراوحت قيمة محتوى الرطوبة للطابوق (6.9%-9.8)، بعد (14 يوما) تراوحت قيمتها (4.2%-6.1)، بعد (28 يوما) تراوحت (3.1%-3.5) نلاحظ ان العلاقة بين محتوى الرطوبة وفترة التجفيف هي علاقة عكسية اي (مع زيادة فترة تجفيف يقل فيها محتوى رطوبة الطابوق) الى أن تصل 29 يوما" من تجفيف الطابوق نحصل على اقل محتوى رطوبي للطابوق.

4.5 الكثافة الكلية:

تعرف بأنها الوزن النموذج لكل وحدة حجمه ويرمز لها برمز (P) [13] وتعبّر بالمعادلة:

$$P=W/V$$

كثافة النموذج (1-4)

($gm\ cm^{-3}$) (w) الوزن النموذج (gm)، (V) الحجم النموذج (m^3) العلاقة بين الكثافة الكلية والمقاومة الانضغاطية

للطابوق: تراوحت كثافة الكلية ($2.23- 2.35\ gm\ cm^{-3}$) بينما المقاومة الانضغاطية للطابوق تراوحت قيمته (Mpa)

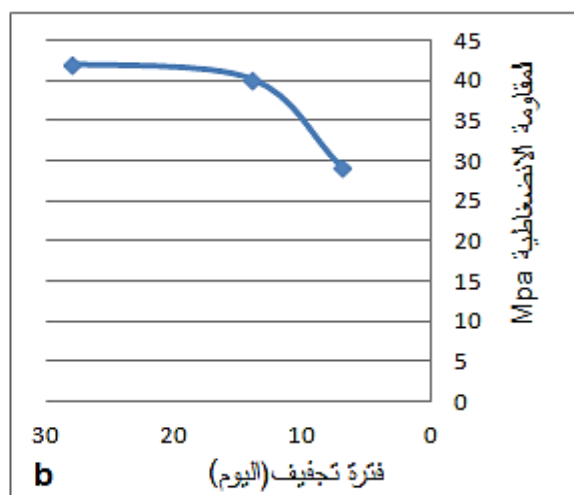
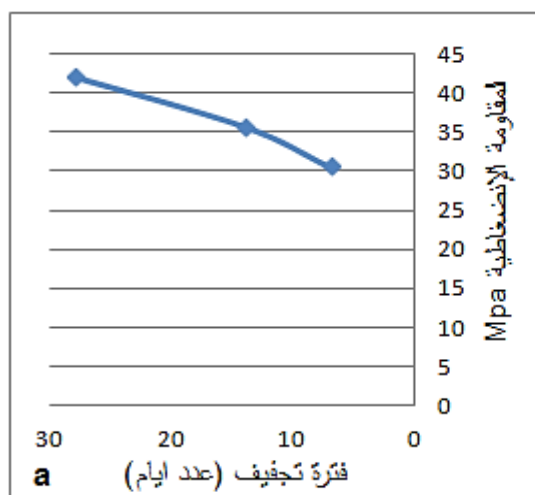
(22.1-42.1) بالنسبة للطابوق المنتج من التربة الموقع الأول كما مبين في الشكل شكل 9 a، أما بالنسبة للطابوق المنتج من

تربة الموقع الثاني فتراوحت قيمة كثافة الكلية ($2.30-2.2 \text{ gm cm}^{-3}$) بينما المقاومة الانضغاطية (45.5- 23.4 Mpa) كما مبين في شكل رقم شكل 9 b. اما العلاقة بين الكثافة الكلية وفترة تجفيف الطابوق: إن المعدل الكثافة الكلية للطابوق المنتج من تربة الموقع الأول من منطقة الدراسة بعد (7 ايام) كانت (2.28 gm cm^{-3})، بعد (14 يوما) كانت (2.26 gm cm^{-3}) وبعد (28 يوما) (2.23 gm cm^{-3}) كما مبين في شكل رقم شكل 10 a، اما بالنسبة للموقع الثاني، بعد (7 ايام) كانت (2.31 gm/cm^3)، بعد (14 يوم) (2.28 gm cm^{-3}) وبعد (28 يوم) (2.24 gm cm^{-3})، مبين في شكل شكل 10 b.

جدول 7: يبين معدلات لقيم الفحوصات الجيوتكنيكية والهندسية للطابوق المنتج من مواد الارضية لموقعي منطقة الدراسة من

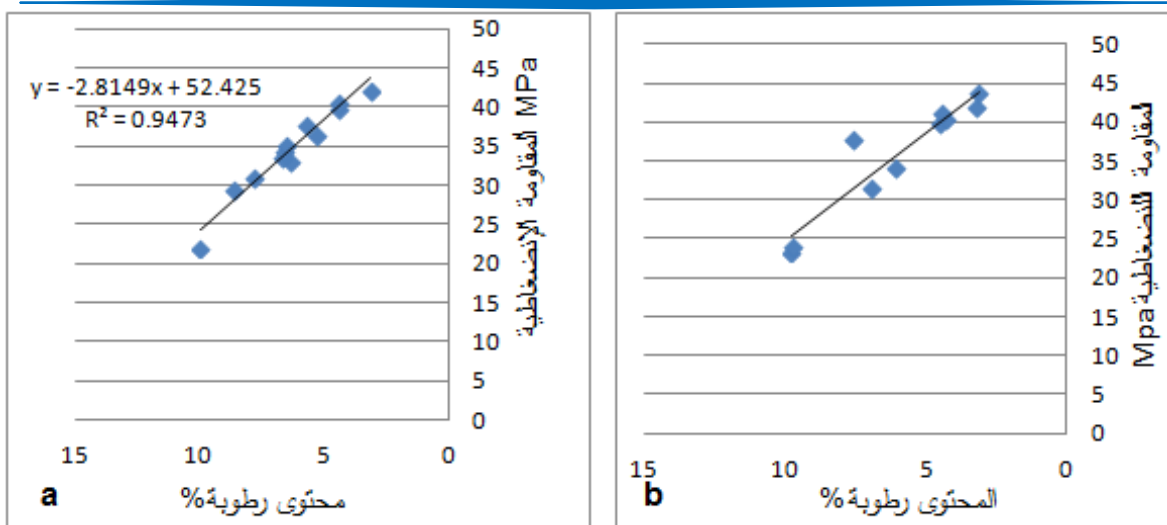
فترات تجفيف مختلفة.

موقع ثاني			موقع اول			الفحوصات الجيوتكنيكية للطابوق
فترة تجفيف (عدد ايام)			فترة تجفيف (عدد ايام)			
28 يوم	14 يوم	7 ايام	7 ايام	7 ايام	7 ايام	
3.3	6.6	8.5	8.5	8.5	8.5	المحتوى الرطوبة %
2.24	2.28	2.31	2.31	2.31	2.31	الكثافة الكلية (gm/cm^3)
43.1	40.2	29.3	29.3	29.3	29.3	المقاومة الانضغاطية (Mpa)

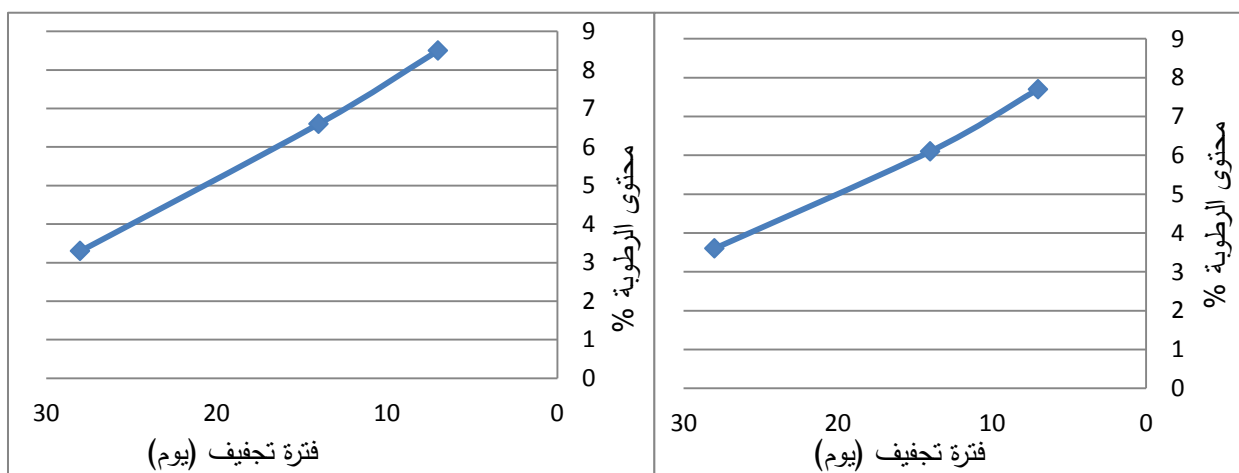


شكل 6: يبين العلاقة بين المقاومة الانضغاطية وفترة تجفيف الطابوق المنتج من تربة

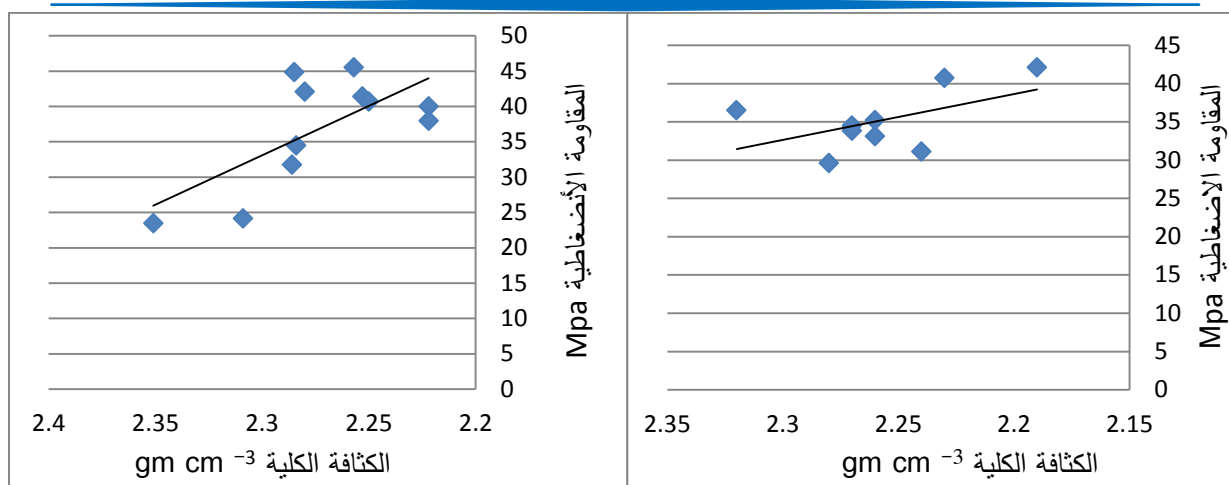
(a): للموقع الاول من منطقة الدراسة (b): للموقع الثاني من منطقة الدراسة.



شكل 7: يبين العلاقة بين المقاومة الإنضغاطية ومحتوى الرطوبة للطابوق المنتج من مواد الأرضية (a): للموقع الأول من منطقة الدراسة (b): للموقع الثاني من منطقة الدراسة.

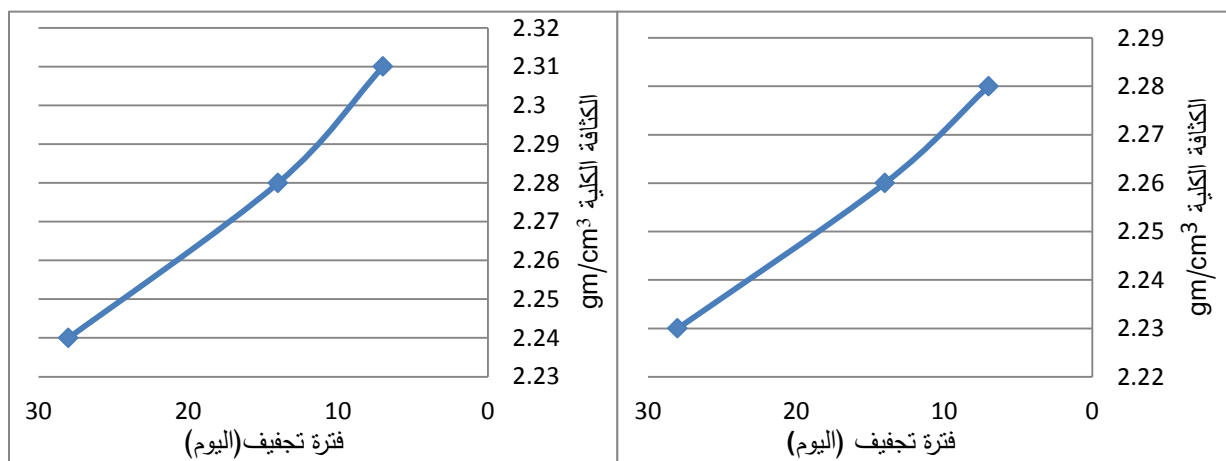


شكل 8: يبين العلاقة بين محتوى الرطوبة وفترة تجفيف الطابوق المنتج من مواد الأرضية (a): للموقع الأول من منطقة الدراسة (b): للموقع الثاني من منطقة الدراسة.



شكل 9: يبين العلاقة بين المقاومة الأضغاطية والكثافة الكلية للطابوق المنتج من تربة

(a): للموقع الأول من منطقة الدراسة (b): للموقع الثاني من منطقة الدراسة



شكل 10: يبين العلاقة بين الكثافة الكلية وفترة التجفيف للطابوق المنتج من تربة

(a): للموقع الأول من منطقة الدراسة (b): للموقع الثاني من منطقة الدراسة.

5. الاستنتاجات:

إن نسب الأحجام الحبيبية تربة منطقة الدراسة ملائمة لإنتاج الطابوق الترابي المضغوط اعتماداً على المواصفات العالمية (ASR 674:1996, AS-1:2007). تزداد المقاومة الأضغاطية غير المحصورة للطابوق مع زيادة فترة التجفيف الطابوق، فكان معدل المقاومة الأضغاطية للطابوق المنتج من الموقع الأول لمنطقة الدراسة الأضغاطية بعد (7 أيام) من التجفيف كانت قيمته (30.9 Mpa) وبعد (14 يوماً) كانت قيمته (35.9 Mpa) وبعد (28 يوماً) كانت قيمته (42.1 Mpa)، أما

بالنسبة للموقع الثاني فكانت المقاومة الانضغاطية بعد (7ايام) (29.3 Mpa) وبعد (14يوم) كانت قيمته (40.2Mpa) وبعد (28يوم) كانت قيمته (43.1Mpa). يقل محتوى الرطوبي الطابوق مع زيادة فترة تجفيفه.

تزداد المقاومة الانضغاطية غير المحصورة للطابوق مع نقصان محتوى الرطوبي للطابوق. تقل المقاومة الانضغاطية غير المحصورة مع زيادة الكثافة الكلية. تقل الكثافة الكلية مع زيادة فترة التجفيف، فقد كان معدل كثافة الطابوق المنتج من تربة منطقة الدراسة بعد (7 ايام) من التجفيف كانت قيمته (2.28gmcm⁻³) وبعد (14 يوما) كانت قيمته (2.26gmcm⁻³) وبعد (28 يوما) فكان قيمته (2.23gmcm⁻³)، أما بالنسبة للموقع الثاني من منطقة الدراسة فكانت قيمته بعد (7 ايام) (2.31gm cm⁻³) وبعد (14 يوما) فكانت قيمتها (2.28gmcm⁻³) وبعد (28 يوما) كانت قيمته (2.24gmcm⁻³).

أن قيم المقاومة الانضغاطية غير المحصورة للطابوق ممتازة بالنسبة الى قيم المقاومة الانضغاطية غير المحصورة للطابوق المنتج بواسطة الحرق ومقاربة الى قيم المقاومة الانضغاطية غير المحصورة للبلوك المصنوع من الكونكريت. عند اجراء مقارنة بين الخواص الجيوتكنيكية والهندسية للطابوق المنتج من مواد الأرضية لموقعي منطقة الدراسة نجد ان الموقع الثاني من منطقة الدراسة أفضل مقارنة مع الخواص الجيوتكنيكية والهندسية للطابوق المنتج من مواد الأرضية للموقع الأول من منطقة الدراسة والسبب يعود الى نسب الأحجام الحبيبية للمواد الأرضية من منطقة الدراسة اي نلاحظ زيادة في نسبة الرمل في تربة الموقع الثاني.

References

- [1] E. Adem and A. Agib, "*Compressed earth block manufacture in Sudan*", printed by Graphoprint for the United Nations Educational, scientific and cultural organization, France, Paris, UNESCO, (2001).
- [2] Anon , "*Introduction to the Production of Compressed Stabilized Earth Block (CSEB) using any way soil block* ", Auroville earth institute, 35 (2007).
- [3] Saad Z. Jassim and Jeremy C. Goff, "*Geology of Iraq* ", publication of Dolin, Prague and Moravian Museum, Brno Czech Republic (2006).



-
- [4] P. Burnigh, "*Soil and soil conditions of Iraq* " , Ministry of Agriculture -D.G., Agric. Res. End project, 322 (1960).
- [5] G. Minke, "*Building with earth, design and technology of a sustainable architecture*", boston, Basel, Berlin: Birkhauser publishers for architecture, (2006).
- [6] D. T. J. Weeb, "*Stabilised Soil Building Blocks*", PhD Thesis, University of Newcastle, <https://theses.ncl.ac.uk/dspace/handle/10443/283>, (1988).
- [7] Y. K. A. AL-SAKKAF, "*Durability Properties of Stabilized Earth Blocks* " , PhD. Thesis University Sains, Malaysia (2009).
- [8] Brajam. M. Das, "*Principles Of Geotechnical Engineering*" ,7th Edition, Cengage learning, United Stated America (1985).
- [9] ASTM, D(422-63), "*Standard Test Method for particle-size Analysis of soil* " , (2004).
- [10] L.S. Land, and G.K., Hoops, "*Sodium in Carbonate Sediments and rocks* " , Journal of Sedimentary Petrology,43,614 (1973)
- [11] CDE Guides , "*Technologies Series* " , Compressed Earth Blocks – Standards, 11, 47, (1998).
- [12] ASTM, (D2216-80), "*Standard Test Method For Moisture Content of soil* " , ASTM international, 24, (2003).
- [13] S. K., Duggal, "*Building Materials*", New age international publishers, third revised edition, 52 (2008).